

# *Анализ результатов наблюдений и методы расчета гидрофизических полей океана*

УДК 551.463.5

А.С. Кукушкин, Е.А. Агафонов, Ю.А. Прохоренко

## **Распределение показателя ослабления направленного света в поверхностных прибрежных водах Черного моря**

С использованием данных многолетних (1977 – 1987) измерений показателя ослабления света с помощью буксируемого прозрачномера рассмотрены основные особенности распределения прозрачности поверхностных вод вдоль Анатолийского, Кавказского, Крымского побережий и в северо-западной части Черного моря в различные сезоны года. Рассчитаны числовые характеристики показателя ослабления света (диапазон изменений, наиболее вероятные значения, среднее значение и характерный масштаб оптических неоднородностей) на отдельных участках прибрежной зоны. Отмечено определяющее влияние на формирование структуры поля прозрачности распределения взвеси, тесно связанное с береговым стоком, динамикой вод, биологическими и гидрометеорологическими факторами.

Изучение оптического режима вод в прибрежной и шельфовой зонах Черного моря в условиях их прогрессирующего загрязнения и эвтрофикации представляет несомненный интерес. Важным показателем распространения мутных (загрязненных) вод в прибрежной зоне моря является их прозрачность.

Структура поля прозрачности и условия ее формирования в отдельные сезоны года в северо-западной части моря и в районах Кавказского и Крымского побережий обсуждались в работах [1–7]. Было показано, что на изменчивость этих распределений влияют следующие факторы: береговые стоки, богатые взвешенными и растворенными органическими и минеральными веществами, условия смешения этих стоков с морскими водами и их динамика, содержание взвешенных веществ в морской воде и другие. Однако статистические характеристики распределений показателя ослабления света (ПОС) в прибрежной зоне моря изучены слабо. В работе [8] приведены некоторые статистические оценки ПОС, полученные по измерениям с помощью буксируемого прозрачномера в различные сезоны 1978 – 1984 гг. в северо-западной части моря и на отдельных разрезах вдоль Крымского побережья. Величины и пределы изменчивости ПОС, измеренные в отдельных точках украинской части прибрежной зоны моря с помощью зондов-прозрачномеров [9], не дают представления о распределении прозрачности вод в этой зоне. Такие представления о структуре, изменчивости и статистических характеристиках ПОС в прибрежных районах моря, где наблюдается значительная изменчивость формирующих поле прозрачности гидрофизических и гидробиологических факторов, могут быть корректно получены только с помощью буксируемой аппаратуры с высоким пространственным разрешением.

© А.С. Кукушкин, Е.А. Агафонов, Ю.А. Прохоренко, 2006

В настоящей работе приводятся обобщенные результаты анализа измерений ПОС (при десятичном основании логарифма и длине волны 420 нм) и расчета его статистических оценок на разрезах вдоль практически всего побережья (рис. 1). Для анализа использованы данные, полученные на глубине 4 – 5 м с помощью буксируемого прозрачномера МГИ-2201 в различные сезоны года в течение 1977 – 1987 гг. Дискретность отсчетов ПОС составляла 0,5 мили. Погрешность измерения ПОС равнялась  $0,02 \text{ м}^{-1}$ . Протяженность буксировок вдоль Анатолийского побережья составила 1830 миль, вдоль Кавказского побережья – более 4000 миль, вдоль юго-восточной части Крымского побережья ~ 1300 миль и западной его части до Одессы – 250 миль, вдоль западного берега моря ~ 650 миль. Для большинства буксировок рассчитаны гистограммы распределения абсолютных значений ПОС, корреляционные функции и определены его следующие числовые характеристики:  $\varepsilon_{\text{ср}}$  – среднее значение,  $\varepsilon_{\text{вер}}$  – наиболее вероятное значение,  $P_{\text{макс}}$  – максимальная вероятность ПОС. Две последние характеристики получены из гистограмм. Интервалы дискретности по величине ПОС при построении гистограмм выбирались с учетом диапазона его изменений и составляли  $0,02 - 0,05 \text{ м}^{-1}$ . Характерный размер оптических неоднородностей определялся по первому нулевому значению корреляционной функции. Ошибки определения этих размеров, связанные с учетом направления и скорости прибрежных течений относительно направления и скорости буксировки, оценивались следующим образом. По рассчитанным размерам неоднородностей на прямой и обратной трассах вдоль Кавказского и Крымского побережий вычислялось их среднее значение. Его близость к фактическому размеру определялась квазипостоянством прибрежных течений в коротком интервале времени проведения измерений, равном 5 – 8 сут. При измерениях вдоль Анатолийского побережья рассчитанные размеры неоднородностей, видимо, превышают фактические из-за совпадения направления буксировки с генеральным направлением переноса вод в южной части моря. Учитывая, что скорость буксировки равна 9 узлам ( $4,5 \text{ м/с}$ ), а средняя скорость прибрежных течений ~  $0,5 \text{ м/с}$ , можно считать, что ошибка измерения размера неоднородностей в этой части моря составляла 10 – 12 %.

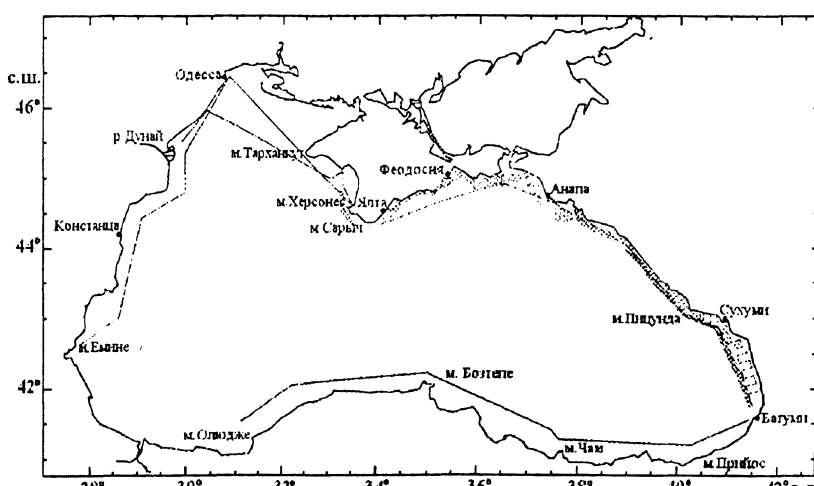


Рис. 1. Схема трасс буксировок прозрачномера

В отдельных экспедициях в поверхностном слое моря определялись концентрации взвешенного органического углерода и хлорофилла «а». Определение численности частиц взвеси проводилось прибором Пикоскель PS-4 (Венгрия) в диапазоне размеров 2 – 50 мкм [5].

Для учета ветровых условий, во многом определяющих динамику поверхностных вод в прибрежных районах моря, использовались судовые наблюдения ветра и материалы банка данных МГИ НАН Украины.

### Результаты наблюдений

**Анатолийское побережье (м. Олюдже – Батуми).** Распределение прозрачности по этому маршруту наглядно отражало характерные особенности в изменении ПОС, связанные с предустьевыми районами рек Кызыл-Ирмак, Ешиль-Ирмак и расположением портовых городов. На рис. 2 представлены распределения, полученные с годичным сдвигом во времени (апрель 1981 и 1982 гг.) на примерно одинаковых расстояниях от берега (13,5 – 20 миль). Можно проследить сходство в конфигурации этих реализаций, где наряду с сохранением диапазона измеряемых величин ПОС повторяются его основные максимумы в районах мысов Зонгулдак, Бозтепе, Чам и Ишиклы. В апреле 1981 г. на всем протяжении от м. Олюдже до Батуми отмечалась хорошая корреляция в распределении ПОС и содержания хлорофилла «а» (рис. 2). На подходе к Батуми наблюдалось возрастание мутности, что, видимо, связано с выносом большого количества взвешенного материала в приустьевой район р. Чорох. Причиной сложного характера распределения ПОС, очевидно, могло также служить меандрирование стрежня ОЧТ, вихреобразование на его боковых границах и связанное с ними перераспределение взвешенного вещества в поверхностных водах. Неоднократно отмечалось, что такие вихри наблюдались в районах мысов Олюдже, Керемпе, Чам, Ишиклы [10].

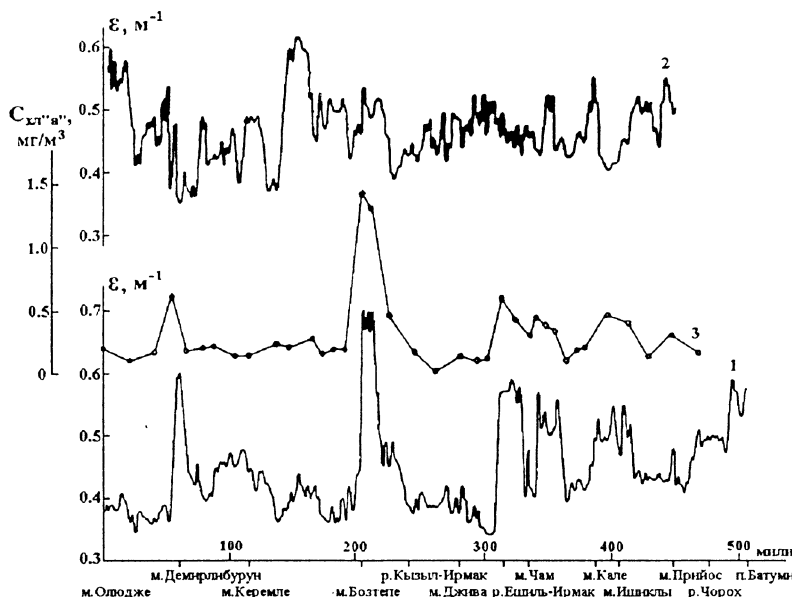


Рис. 2. Распределение ПОС в апреле 1981 (1) и 1982 (2) годов и содержание хлорофилла «а» (3) в апреле 1981 г. на трассе вдоль Анатолийского побережья

В летний период (июнь 1984 г.) характер изменчивости распределения ПОС вдоль побережья на таких же расстояниях от берега, как в 1981 и 1982 гг., в основном сохранил отмеченные для весеннего периода особенности. Это также подтверждается сравнением числовых характеристик ПОС в эти сезоны (таблица). Диапазон его изменений в весенне-летний период находился в пределах  $0,3 - 0,8 \text{ м}^{-1}$ . Наиболее вероятные значения ПОС весной составляли  $0,4 - 0,47 \text{ м}^{-1}$ , летом  $0,5 - 0,54 \text{ м}^{-1}$ . Их максимальная вероятность в оба сезона была примерно одинаковой и равнялась  $0,15 - 0,18$ . Также были близки средние значения ПОС, равные  $0,44 - 0,48 \text{ м}^{-1}$ .

### Характеристики изменчивости показателя ослабления света ( $\varepsilon$ ) в поверхностных прибрежных водах Черного моря

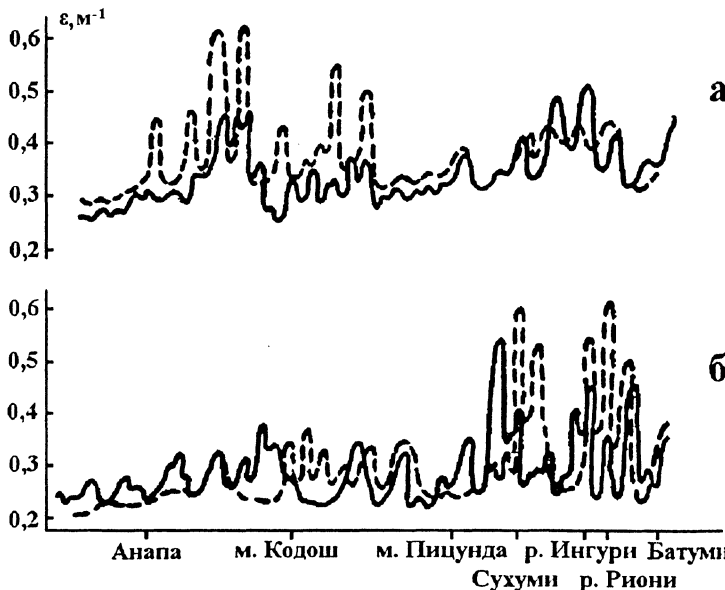
Побережье	Судно, № рейса, дата	Диапазон изменений		$P_{\max}$	$\varepsilon_{cp}, \text{м}^{-1}$
		$\varepsilon, \text{м}^{-1}$	$\varepsilon_{ver}, \text{м}^{-1}$		
<b>Анатолийское</b>					
м. Олюдже – Батуми	«Муксун», 76, апрель 1981	0,34 – 0,72	0,4 – 0,42	0,18	0,44
м. Олюдже – м. Прийос	«Ай-Тодор», 3, апрель 1982	0,35 – 0,62	0,46 – 0,47	0,17	0,47
м. Джива – Батуми	«Акад. Вернадский», 29, июнь 1984	0,3 – 0,8	0,5 – 0,54	0,15	0,48
Амасра – м. Прийос	«Акад. Вернадский», 23, ноябрь 1980	0,28 – 0,36	0,28 – 0,29	0,33	0,3
<b>Кавказское</b>					
Батуми – Анапа	«Муксун», 41, октябрь 1977	0,18 – 0,65	0,3 – 0,34	0,2	0,35
Батуми – Анапа	«Муксун», 45, март 1978	0,21 – 0,6	0,28 – 0,3	0,25	0,31
Батуми – Анапа	«Муксун», 52, ноябрь 1978	0,22 – 0,6	0,32 – 0,35	0,28	0,34
Батуми – Анапа	«Ай-Тодор», 1, июнь 1979	0,2 – 0,5	0,26 – 0,28	0,16	0,28
<b>Крымское</b>					
м. Сарыч – Керченский пролив	«Муксун», 41, октябрь 1977	0,18 – 0,34	0,22 – 0,23	0,35	0,24
м. Сарыч – Керченский пролив Ялта –	«Муксун», 45, март 1978	0,16 – 0,26	0,18 – 0,2	0,56	0,21
Керченский пролив	«Муксун», 52, ноябрь 1978	0,2 – 0,28	0,2 – 0,22	0,48	0,22
м. Херсонес – Керчен- ский пролив	«Ай-Тодор», 1, июнь 1979	0,13 – 0,24	0,2 – 0,22	0,5	0,22
м. Херсонес – м. Тарханкут	«Муксун», 45, март 1978	0,16 – 0,28	0,18 – 0,2	0,4	0,19
Севастополь – м. Тарханкут	«Муксун», 99, март 1984	0,34 – 0,5	0,36 – 0,38	0,23	0,38
<b>Румелийское</b>					
Одесса – м. Мидия	«Муксун», 97, ноябрь 1983	0,26 – 0,4	0,28 – 0,3	0,71	0,34
Одесса – м. Емине	«Муксун», 99, март 1984	0,4 – 2,2	–	–	–

Осенью (ноябрь 1980 г.) и в весенне-летний период характер распределения ПОС и его числовые характеристики различались. Осенью распределение ПОС было более однородным, диапазон изменения и его среднее значение – заметно ниже. Это, видимо, объясняется уменьшением влияния относительно мутных прибрежных вод на прозрачность в районе измерений в связи с большей удаленностью трасс буксировки прозрачномера от берега (в среднем на 10 – 15 миль) в осенний период. Пространственный размер оптических неоднородностей во все сезоны года был примерно одинаков (5 – 7 миль).

**Кавказское побережье.** Структура поля прозрачности и особенности ее формирования в поверхностном слое вдоль Кавказского побережья в различные сезоны года рассмотрены в работах [4, 5].

Характер распределений ПОС и диапазон его изменчивости на различных участках прибрежной зоны вдоль Кавказского побережья в осенне-зимний период 1978 г. показаны на рис. 3. Трассы буксировок проходили вблизи путей, рекомендованных для вдольберегового судоходства, на расстоянии от берега 1,5 – 10 миль. Области повышенных значений ПОС шириной 5 – 20 миль регистрировались в районах впадения крупных рек (Рioni, Ингур, Кодори, Сupsa) и портово-промышленных городов (Батуми, Сухуми, Новороссийск и др.). Значения ПОС, как правило, увеличивались с севера в юго-восточном направлении. Отличие зарегистрировано осенью 1978 г. на обратном галсе на участке северо-западнее м. Кодош (рис. 3, а). В весенне-летний период 1979 – 1983 гг. характер распределения ПОС [4, 5] в общих чертах был близок к осенне-зимнему. Отличие заключалось в его более высоких значениях в весенний период, особенно в предустьевых районах рек. Помимо сезонной эти распределения показали наличие достаточно высокой кратковременной (единицы суток) изменчивости ПОС. Так, его более высокие значения измерены на северо-западном (рис. 3, а) и юго-восточном (рис. 3, б) участках побережья на обратных галсах, выполнявшихся через 2 – 5 сут после измерений на прямых галсах на более близких (на 1,5 – 2,5 мили) к берегу расстояниях. Проведенные 24 – 29 июня 1979 г. измерения на четырех вдольбереговых трассах, расположенных на различных расстояниях от берега (2 – 13,5 мили), показали, что при удалении от берега изрезанность распределений ПОС уменьшалась, а его значения и содержание взвешенного органического углерода снижались. Особенно заметно это наблюдалось в районах впадения рек (Ингур, Кодори, Хипста) и крупных портовых городов (Сухуми, Поти и др.) [5].

На кратковременную изменчивость распределения ПОС также оказывает влияние изменение динамических условий в прибрежной зоне. Так, перемещение области относительно прозрачных вод, зарегистрированной в марте 1978 г. юго-восточнее м. Кодош на прямом галсе и северо-западнее – на обратном (рис. 3, б), объяснялось возможным вдольбереговым движением прибрежного антициклонического вихря с относительно прозрачными водами в его центральной части [4]. В работе [5] также описано влияние такого вихря (но только переносившего мутные воды) на распределения ПОС и температуры, полученные в этом же районе при постоянных ветровых условиях на прямом (24 июня 1979 г.) и обратном (29 июня) галсах, одинаково удаленных от берега.



**Р и с. 3.** Распределение ПОС вдоль Кавказского побережья в осенний (*а* – 25 ноября – 4 декабря 1978 г.) и зимний (*б* – 11 – 16 марта 1978 г.) гидрологические сезоны (сплошная линия: Анапа – Батуми, штриховая: Батуми – Анапа)

Анализ данных, полученных в 1977 – 1979 гг., показал, что диапазоны изменений ПОС ( $0,18 - 0,65 \text{ м}^{-1}$ ) и его наиболее вероятных значений ( $0,26 - 0,35 \text{ м}^{-1}$ ) в различные сезоны года примерно одинаковы (таблица). Также близки средние значения, изменившиеся в пределах  $0,28 - 0,35 \text{ м}^{-1}$ . В основном они ниже, чем в районе Анатолийского побережья. Также меньше характерный размер оптических неоднородностей (2 – 4,5 мили).

Помимо анализа распределений ПОС на вдольбереговых трассах в сентябре 1987 г. в течение 9 сут были проведены детальные исследования поля прозрачности в полосе прибрежной зоны (шириной до 11 миль) вдоль всего побережья на галсах, ориентированных перпендикулярно и параллельно береговой черте (рис. 1). Полученные результаты позволили детально представить структуру поля прозрачности вдоль Кавказского побережья (рис. 4). Анализ распределения числа частиц суммарной взвеси (рис. 5) и значений ПОС, полученных одновременно, показал их хорошую согласованность. Области с повышенным содержанием частиц взвеси, расположенные в районах впадения крупных и средних рек и портово-промышленных городов, характеризовались повышенными значениями ПОС. Эти значения, а также число частиц взвеси уменьшались с удалением от берега. Это наиболее заметно на участке Очамчира – Батуми, выделявшемся в прибрежной зоне максимальными значениями ПОС и содержания частиц взвеси. В сентябре 1987 г. по сравнению с концом 70-х – началом 80-х годов XX столетия наблюдалось заметное увеличение ПОС вдоль всего побережья, что совпало с известным понижением прозрачности вод в Черном море в конце 80-х годов [11].

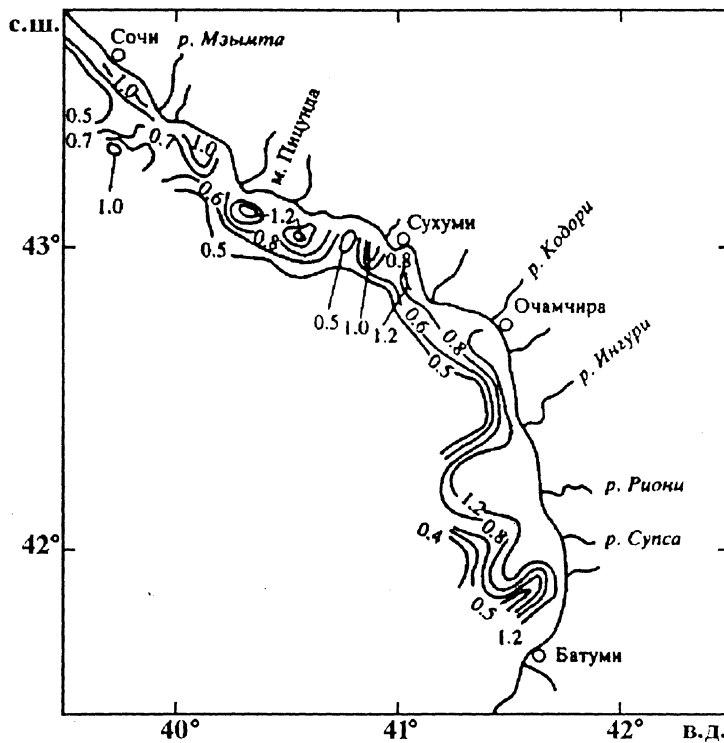
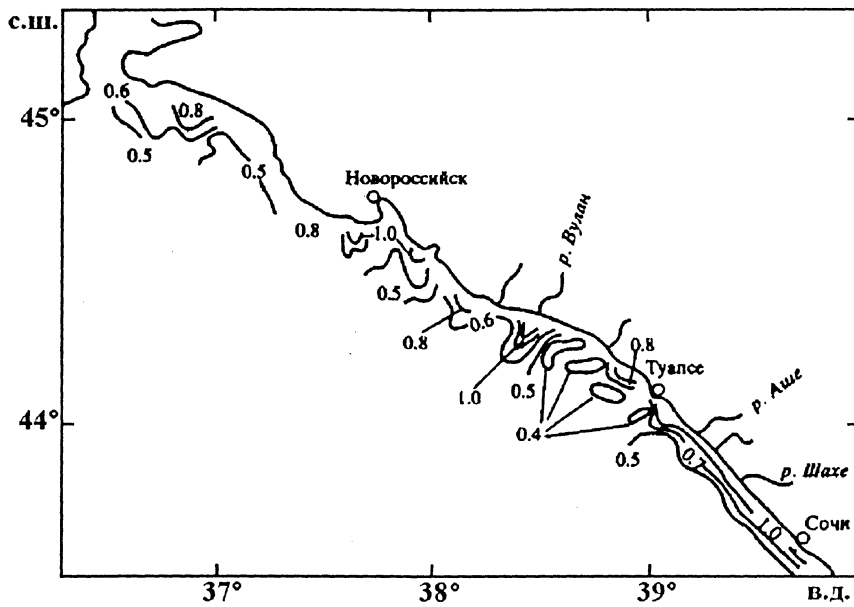


Рис. 4. Распределение ПОС ( $\text{м}^{-1}$ ) вдоль Кавказского побережья 18 – 26 сентября 1987 г.

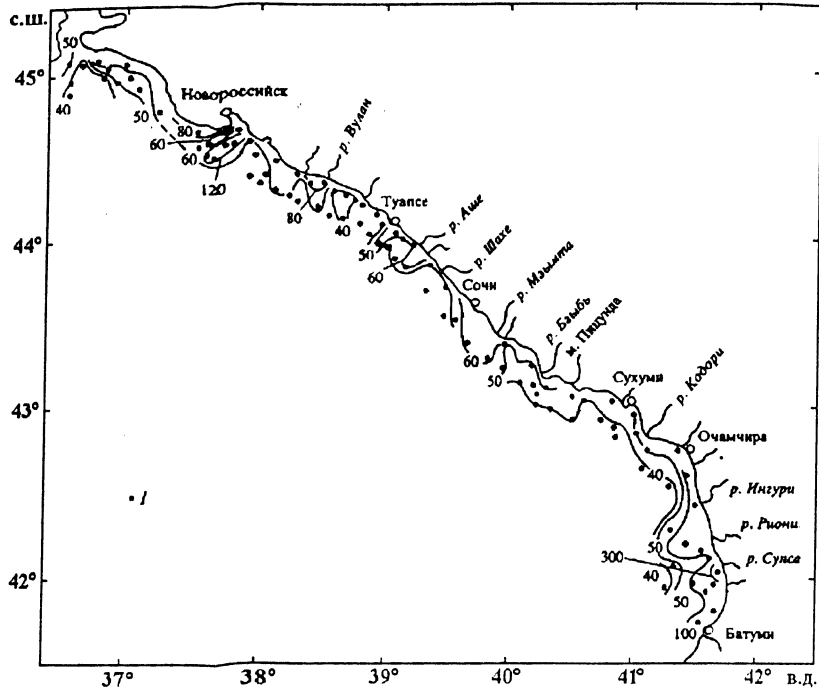
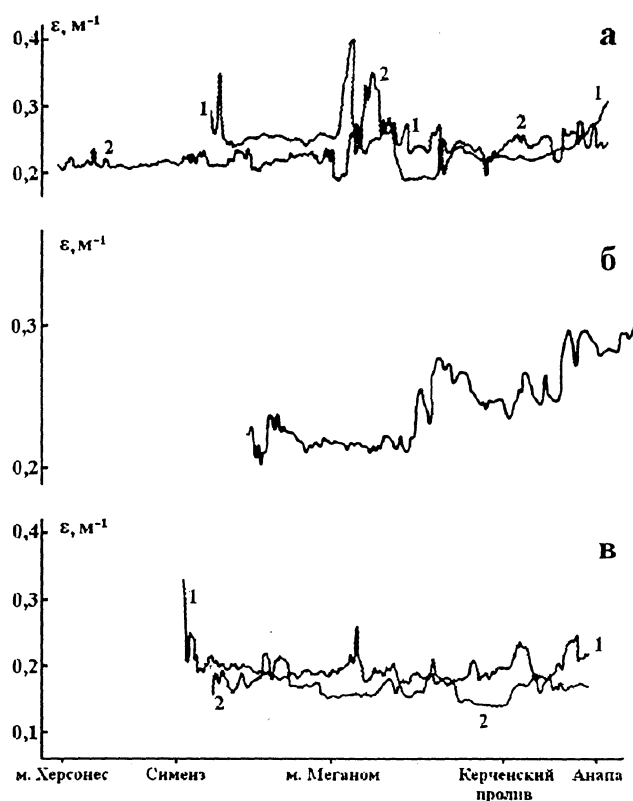


Рис. 5. Распределение числа частиц суммарной взвеси (тыс./л) вдоль Кавказского побережья 18 – 26 сентября 1987 г.

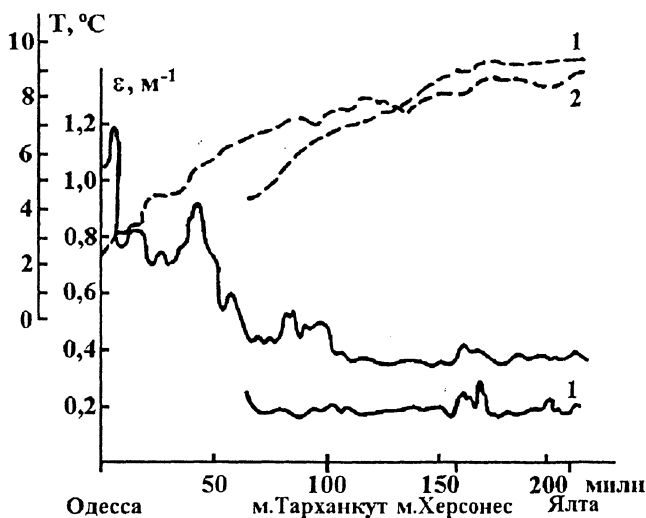
**Крымское побережье.** Многолетние измерения ПОС на трассах вдоль Крымского побережья показали, что поверхностные прибрежные воды от м. Тарханкут до м. Кийк-Атлама выделяются среди прибрежных вод большинства районов моря более высокой прозрачностью во все сезоны года, близкой к прозрачности поверхностных вод открытого моря [2.6]. Трассы буксировок проходили вблизи путей, рекомендованных для вдольберегового судоходства, на расстоянии от побережья 1,5 – 12 миль. Вдольбереговые изменения ПОС в осенне-зимние периоды 1977 – 1984 гг. показаны на рис. 6, 7. Для распределения ПОС характерна незначительная пространственная (вдольбереговая) и временная (межсуточная, сезонная) изменчивость его абсолютных величин. Диапазон их изменений в 1977 – 1979 гг. (см. таблицу) составлял  $0,16 - 0,34 \text{ м}^{-1}$ . Диапазон наиболее вероятных значений  $0,18 - 0,23 \text{ м}^{-1}$ , вероятность их регистрации  $0,35 - 0,56$ . Средние значения ПОС мало отличались и были равны  $0,19 - 0,24 \text{ м}^{-1}$ . Характерный размер оптических неоднородностей изменялся в диапазоне 2 – 3 мили. Отметим, что при сохранении характера вдольберегового распределения прозрачности вод (рис. 7) в марте 1984 г. наблюдалось заметное увеличение ПОС (в 1,5 – 2 раза) по сравнению с марта 1978 г. При этом значения прозрачности прибрежных вод и вод открытого моря, как и в прежние годы, были близки.

Небольшая изменчивость в распределении ПОС (рис. 6), наблюдаемая на прямой и обратной вдоль береговых трассах через 7 – 10 сут, в основном объяснялась их различным удалением от береговой черты. Отдельные участки

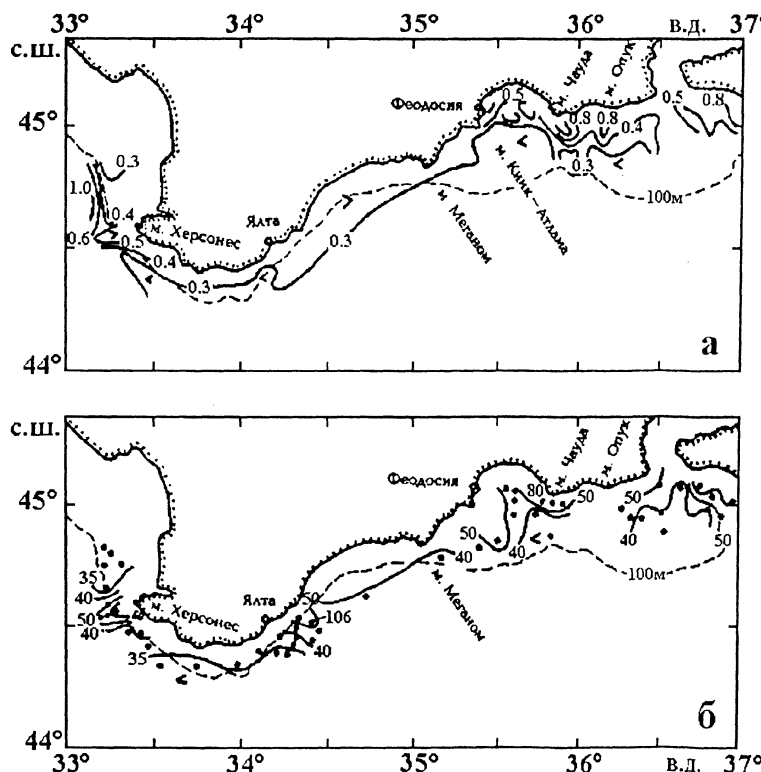
повышенной мутности протяженностью 0,5 – 5 миль находились, как правило, в районах портовых и курортных городов. Отмечено понижение прозрачности вод в районе Феодосийского залива и при приближении к Керченскому проливу, что объясняется влиянием азовоморских вод. Достаточно наглядно это проявилось при детальной съемке прибрежной зоны в сентябре 1987 г. на трех полигонах (м. Херсонес, Ялтинский залив, между м. Кийк-Атлама и Керченским проливом) и трассах между ними. Измерения на полигонах позволили получить достаточно подробную и согласованную картину пространственного распределения прозрачности и частиц суммарной взвеси на значительной части прибрежной зоны Крыма (рис. 8) [2,6]. От м. Херсонес до м. Кийк-Атлама наблюдалось достаточно однородное распределение ПОС и частиц взвеси. Участки прибрежной зоны с пониженной прозрачностью вод (западнее м. Херсонес, район Феодосии, между мысами Чауда и Опук) совпадали с областями повышенного содержания суммарной взвеси. При удалении от берега прозрачность вод повышалась, а число частиц взвеси уменьшалось.



**Рис. 6.** Распределение ПОС вдоль юго-восточной части Крымского побережья в осенний (а – 22 – 31 октября 1977 г., б – 24 – 29 ноября 1978 г.) и зимний (в – 10 – 16 марта 1978 г.) гидрологические сезоны (1 – м. Херсонес – Керченский пролив, 2 – Керченский пролив – м. Херсонес)



Р и с. 7. Распределение ПОС (сплошная линия) и температуры (штриховая) вдоль юго-западной части Крымского побережья 16 – 17 марта 1978 г. (1) и 14 – 15 марта 1984 г. (2)

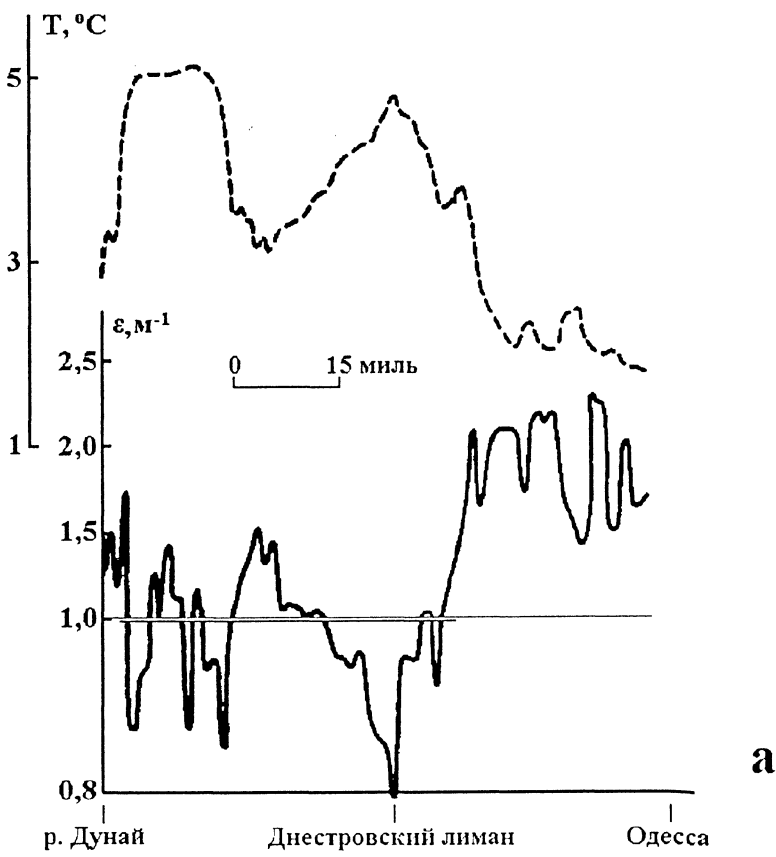


Р и с. 8. Распределение ПОС ( $\text{м}^{-1}$ ) – а и числа частиц суммарной взвеси (тыс./л) – б вдоль Крымского побережья 13 – 18 сентября 1987 г.

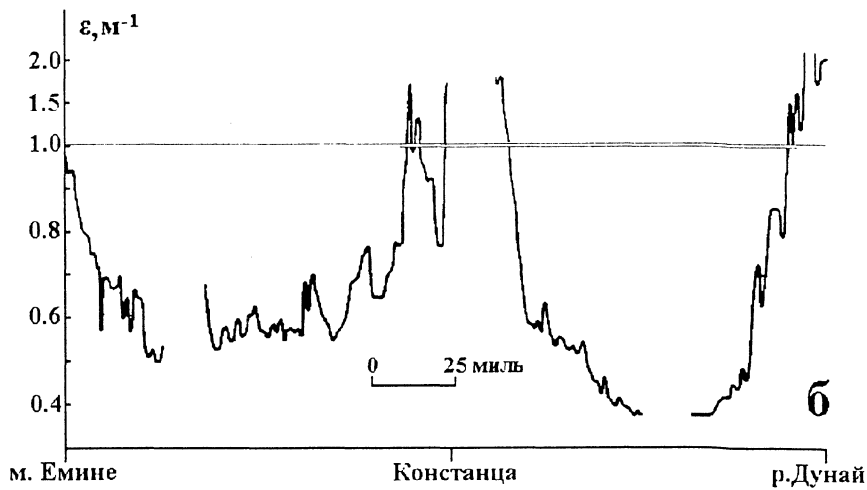
**Северо-западная часть (м. Тарханкут – Одесса – м. Емине).** Особенности распределения и формирования поля прозрачности вод вдоль северного и западного берегов северо-западной части моря и их изменчивость были рассмотрены в [1 – 3,6,7]. На участке от м. Тарханкут до Одессы прозрачность вод, по данным измерений в марте 1984 г., заметно понижалась (рис. 7), что, видимо, связано с влиянием трансформированных речных вод, поступающих из Днепро-Бугского лимана. Кроме того, в этих водах зарегистрировано повышенное содержание хлорофилла «а» (в 3 – 8 раз) по сравнению с водами юго-западной части Крымского побережья [6].

Распределение ПОС от Одессы до м. Емине в марте 1984 г. имело сложный характер (рис. 9). На участке от Одессы до приустьевого района Дуная горизонтальное распределение ПОС достаточно неоднородно (хотя в целом наблюдалась тенденция повышения прозрачности вод в южном направлении). Оно имело одинаковые с температурными неоднородностями изменения с характерным масштабом  $\sim 16$  миль (рис. 9,а). При этом более мутным водам соответствовали холодные и наоборот. Такие одновременные изменения прозрачности и температуры, скорее всего, можно объяснить прерывистым характером поступления больших по объему масс холодных и относительно мутных речных вод из Днепро-Бугского и Днестровского лиманов и связанным с этим усиливающимся меандрированием вдольберегового течения. В этом течении наблюдались также мелкомасштабные (1 – 5 миль) изменения прозрачности и температуры. Диапазон изменений ПОС составлял  $0,8 - 2,2 \text{ m}^{-1}$ . В осенний период (ноябрь 1983 г.), когда речной сток был ограниченным, на этом же участке побережья распределение ПОС не имело заметной изрезанности. В то же время наблюдались изменения ПОС и температуры с тем же масштабом ( $\sim 16$  миль), как и зимой [2]. На участке прибрежной зоны южнее устья Дуная изрезанный характер распределения ПОС сохранился (рис. 9,б). Диапазон его изменений, равный  $0,4 - 2,2 \text{ m}^{-1}$ , даже выше, чем на северном участке. Однако среднее значение ПОС понизилось. Высокие значения ПОС, измеренные на участке прибрежной зоны в районе Констанцы на расстоянии более 20 миль от берега, объяснялись возможным влиянием динамики вод [3,6]. Направленность течений, по данным электромагнитного измерителя, и пониженная (на  $1,5 - 2^{\circ}\text{C}$ ) по сравнению с окружающей температура воды свидетельствовали о возможном существовании здесь антициклонического меандра или вихря, переносящего вместе с вдольбереговым течением трансформированные речные воды в южном направлении.

Распределение ПОС (рис. 9) хорошо согласовывалось с распределением содержания хлорофилла «а» [3,6]. Его максимальные концентрации определены на участках прибрежной зоны с максимальными значениями ПОС (южнее Одессы, приустьевый район Дуная, восточнее Констанцы и у м. Емине). На других вдольбереговых участках наблюдалось почти пропорциональное изменение концентраций хлорофилла «а» и ПОС.



**а**



**б**

Р и с. 9. Распределение ПОС на вдольбереговых галсах Одесса – р. Дунай (а) – м. Емине (б) в марте 1984 г.

## **Заключение**

Результаты многолетних наблюдений позволили определить основные особенности и числовые характеристики распределения ПОС, а также установить некоторые факторы, влияющие на его формирование и изменчивость в поверхностных прибрежных водах Черного моря.

На большинстве участков прибрежной зоны распределение ПОС было неоднородно, а его профили имели сложный характер. При удалении от берега прозрачность вод, как правило, повышалась, а изрезанность профилей ПОС уменьшалась. Распределение ПОС в основном определялось распределением взвешенного вещества, которое, в свою очередь, зависело от расположения источников берегового стока (речного и промышленно-бытового), условий смешения этих стоков с морскими водами и их динамики, а также от развития фитопланктона.

Области повышенной мутности находились в основном в районах крупных портовых и курортных городов и приусտевых зонах рек, где также отмечалось повышенное содержание взвеси. Наблюдались случаи переноса мутных вод антициклоническими вихрями вдоль Анатолийского, Кавказского побережий и в северо-западной части моря.

Наиболее прозрачные воды, близкие к прозрачности вод открытого моря, и невысокая пространственно-временная изменчивость ПОС отмечены вдоль Крымского побережья. Наиболее мутные воды и высокая изменчивость пространственного распределения ПОС регистрировались в северо-западной части моря. Прозрачность вод вдоль Анатолийского и Кавказского побережий в среднем одинакова, но выше, чем в северо-западной части.

## **СПИСОК ЛИТЕРАТУРЫ**

1. Агафонов Е.А., Кукушкин А.С., Прохоренко Ю.А., Каминский С.Т. Пространственная структура и изменчивость полей течений, показателя ослабления света и температуры в поверхностном слое северо-западной части Черного моря // Морской гидрофизический журнал. – 1998. – №4. – С. 57 – 69.
2. Агафонов Е.А., Кукушкин А.С., Прохоренко Ю.А. Особенности распределения показателя ослабления света в поверхностном слое черноморских вод прибрежной зоны Украины в осенний и зимний периоды // Экологическая безопасность прибрежной и шельфовых зон и комплексное использование ресурсов шельфа. – Севастополь: МГИ НАН Украины, 1999. – С.138 – 148.
3. Агафонов Е. А., Кукушкин А. С., Прохоренко Ю. А. Исследование распространения речных вод в северо-западной части Черного моря в весенний гидрологический сезон // Метеорология и гидрология. – 2000. – №8. – С.93 – 101.
4. Агафонов Е. А., Кукушкин А. С., Прохоренко Ю. А. Структура и изменчивость поля прозрачности поверхностных вод прибрежной зоны Кавказского побережья Черного моря // Морской гидрофизический журнал. – 2000. – №1. – С.66 – 79.
5. Агафонов Е. А., Кукушкин А. С., Прохоренко Ю. А. Структура поля прозрачности и особенности ее формирования в поверхностном слое вод прибрежной зоны Кавказского побережья в весенне-летний период // Океанология . – 2001. – 41, №6. – С.815 – 826.
6. Агафонов Е. А., Кукушкин А. С., Прохоренко Ю. А. Особенности формирования поля прозрачности поверхностных вод на шельфе северных районов Черного моря // Морской гидрофизический журнал. – 2002. – №2. – С.65 – 77.
7. Воскресенская Е. Н., Кукушкин А. С., Бурлакова З. П., Еремеева Л. В. Влияние крупномасштабных атмосферных процессов на формирование гидрофизических и гидробиолог-

- гических полей в северо-западной части Черного моря в зимний период // Морской экологический журнал. – 2004. – №3. – С.29 – 36.
- 8. Агафонов Е.А., Кукушкин А.С., Прохоренко Ю.А. Статистические оценки экспериментальных распределений показателя ослабления света в прибрежных водах, прилегающих к берегам Украины // Системы контроля окружающей среды. – Севастополь: МГИ НАН Украины, 2001. – С.292 – 296.
  - 9. Маньковский В.И. Оптические характеристики прибрежных вод Черноморского побережья Украины // Экологическая безопасность прибрежной и шельфовых зон и комплексное использование ресурсов шельфа. – Севастополь: МГИ НАН Украины, 1999. – С.149 – 152.
  - 10. Богатко О.Н., Богуславский С.Г., Беляков Ю.М., Иванов Р.И. Поверхностные течения Черного моря // Комплексные исследования Черного моря. – Севастополь: МГИ АН УССР, 1979. – С.25 – 33.
  - 11. Маньковский В.И., Владимиров В.П., Афонин Е.А. и др. Многолетняя изменчивость прозрачности в Черном море и факторы, обусловившие ее сильное снижение в конце 80-х – начале 90-х годов. – Севастополь, 1996. – 32с. – (Препринт / НАН Украины. МГИ).

Морской гидрофизический институт НАН Украины,  
Севастополь

Материал поступил  
в редакцию 30.03.05  
После доработки 20.05.05

**ABSTRACT** Basic features of the surface water transparency distribution along the Anatolian, Caucasian, Crimean and the northwest Black Sea coast in various seasons are considered based on multi-year (1977- 1987) data on the beam attenuation coefficient measured by a towed transparency-meter. Numerical characteristics of the beam attenuation coefficient (variation range, most probable values, average value, characteristic scale of optical inhomogeneities) are calculated for certain parts of the Black Sea littoral zone. A decisive effect of the suspension distribution closely related to the coastal run-off, water dynamics, biological and hydro-meteorological factors upon the formation of the transparency field structure is noted.